

Экситонное поглощение в пленке KI + AgI

Р.Галбадрах , Г.Болд

Наблюденный нами распад экситонного края поглощения в тонких пленках  $\text{Ag}_4\text{KI}_5$  [1, 2] соответствует реакции  $2\text{Ag}_4\text{KI}_5 \rightarrow 7\text{AgI} + \text{AgK}_2\text{I}_3$  и способствовался фазовой нестабильностью системы  $(\text{AgI})_{1-x}(\text{KI})_x$  [3], где  $x$  – молярная концентрация. Между тем, как будет описано ниже, нестабильность  $\text{Ag}_4\text{KI}_5$  может быть использована для получения достаточно долговечной, структурно совершенной пленки данного суперионного соединения.

В отличие от [1,2] исходные порошки KI и AgI испарялись в вакууме ( $5 \times 10^{-5}$  мм.рт.ст), поочередно из отдельных вольфрамовых испарителей в виде лодочек. Лодочки изолированы друг от друга перегородкой, предотвращающей прямое попадание вещества от одной на другую. Подложкой служила круглая ( $\phi = 50$  мм) пластина из плавленного кварца. В вакуумной камере была вмонтирована диафрагма имеющая посередине прямоугольное отверстие размером  $1.8 \times 1.3$  см<sup>2</sup>. Диафрагма, управляемая снаружи камеры, могла почти плотно прикрыть снизу подложку, оставляя открытой прямоугольную область на ней.

Сначала осаждался KI на открытой части подложки при закрытой диафрагме и после восстановления вакуума от остаточных паров KI испарялся AgI, диафрагма в последнем случае удалялась полностью от путей молекулярных пучков из испарителя. Скорость осаждения 100 Å / с, температура подложки  $T_n$  равна комнатной и не проводился отжиг осажденной пленки в вакууме при  $T_n$ . В результате такой последовательности испарения получалась пленка типа "сэндвич": подложка – KI – AgI (Рис.1.). У свежеприготовленной пленки интерференционный цвет отражения двухслойной области  $\alpha$  резко выделялся на фоне отражения монослойной области  $\beta$  (Рис. 1). С течением времени по краям двухслойной области появлялась белесовая рассеивающая каемка уширяющаяся главным образом в глубь области  $\alpha$ , и достигающая 3÷4 мм ширины за двое суток хранения в лабораторных условиях. По всей видимости,

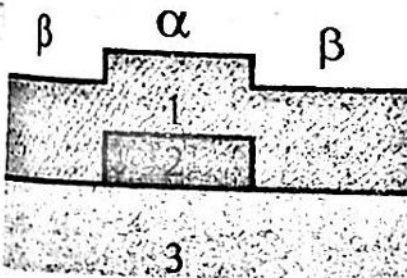


Рис. 1  
Схематический разрез  
двухслойной пленки KI+  
AgI: 1- слой AgI, 2- слой  
KI, 3 - кварцевая  
подложка,  
α-двуслойная, β -  
монослоиная областей.

появление рассеивающей каемки связано с проникновением атмосферной влаги до слоя KI через структурные трещины AgI на стыке областей  $\alpha$  и  $\beta$ . Как известно, KI и AgI гигроскопичны и рекристаллизируются с водой в виде микрокристалликов, рассеивающих свет. Оптическая плотность ( $D$ )  $\alpha$  и  $\beta$  областей пленки измерялась в спектральном интервале 2.0÷6.2 эВ при комнатной температуре, относительно чистой подложки на спектрофотометре СФ - 16.

В предположении резкой границы раздела слоев KI и AgI можно ожидать в спектре поглощения  $\alpha$  области некую композицию фундаментальных краев поглощения AgI [1] и KI [4]. Но на измеренном спектре края поглощения  $\alpha$  области

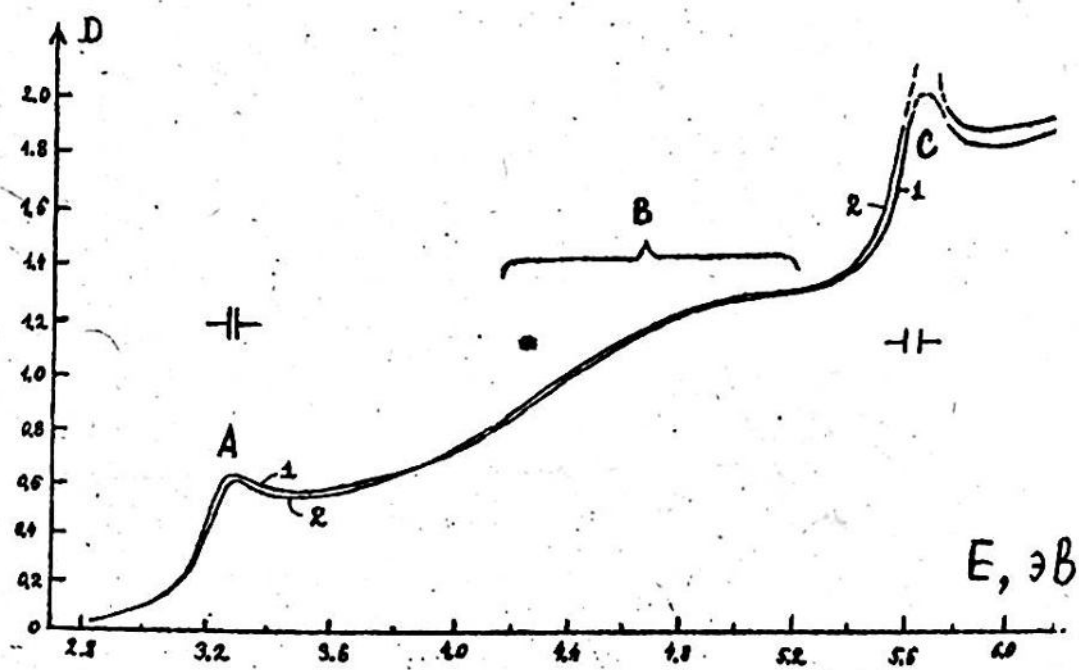


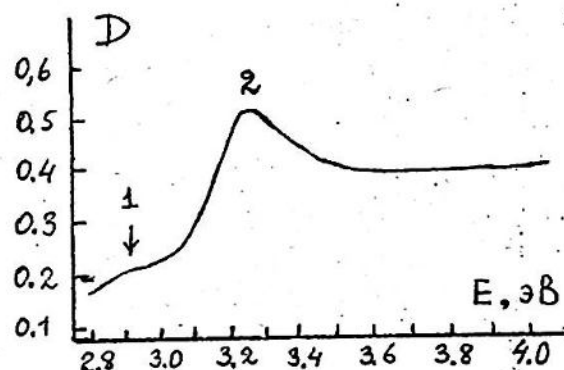
Рис.2 Спектр экситонного края поглощения KI+AgI двухслойной пленки. 1-измерение сразу после изготовления пленки, 2-измерение спустя 48 часов.

среде, насыщенной ионами  $K^+$  и последующие молекулы  $AgI$  достигающих слоя  $AgK_2I_3$ , а не слоя  $KI$ , вступают в реакцию  $7AgI + AgK_2I_3 \rightarrow 2Ag_4KI_5$  из-за избытка уже ионов  $Ag^+$ . Косвенным подтверждением такого механизма может служить самопроизвольное заметное уменьшение  $A$  и рост  $C$  полос на Рис.2 с течением времени, происшедшие по всей видимости, разложением метастабильного при комнатных условиях  $Ag_4KI_5$  на  $KI$  и  $AgI$ .

Край поглощения монослоиной  $\beta$  области показан на Рис.3 и экситонные полосы 1 и 2 на нем идентичны соответственно полосам  $Z_{1,2}$  и  $Z_3$  в [7,8]. Форма полосы 1 близка гауссовской и тем самым подтверждает хорошую структурную однородность монослоя  $AgI$ . Оценка толщины слоя  $AgI$  по коротковолновому крылу полосы 1 [1] дает  $80 \pm 10$  нм и тогда отношение весов испаряемых навесок дает для начальной

Рис.4

Часть края поглощения  $KI+AgI$  пленки с толщиной  $KI$  слоя значительно меньше (3-4 раза) покрывающего  $AgI$  слоя.  
1-слабая экситонная полоса  $AgI$ , 2-краевой экситонный пик поглощения  $Ag_4KI_5$ .



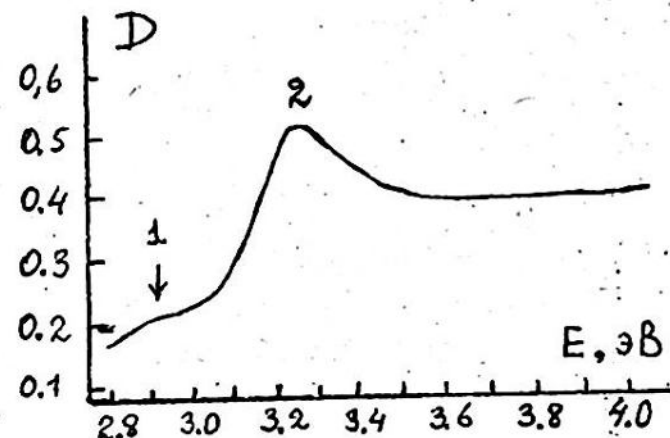
толщины слоя  $KI \sim 50$  нм. Если толщина слоя  $KI$  значительно меньше (в несколько раз) толщины осаждаемого на него слоя  $AgI$ , то часть  $AgI$  может остаться не востребованной для вступления в реакцию образования подслоев  $AgK_2I_3$  и  $Ag_4KI_5$  и тогда  $\alpha$  область пленки становится четырехслойной: подложка -  $KI$  -  $AgK_2I_3$  -  $Ag_4KI_5$  -  $AgI$ . В подтверждение сказанного, приведем часть спектра поглощения пленки (Рис.4) у которой начальная толщина  $KI$  слоя 3-4 раза меньше толщины покрывающего слоя  $AgI$ . На Рис.4 слабая полоса 1 около 2.9 эВ маскирована длинноволновым крылом экситонного пика 2 ( $Ag_4KI_5$ ) и является несомненно краевой экситонной полосой  $AgI$ .

среде, насыщенной ионами  $K^+$  и последующие молекулы  $AgI$  достигающих слоя  $AgK_2I_3$ , а не слоя  $KI$ , вступают в реакцию  $7AgI + AgK_2I_3 \rightarrow 2Ag_4KI_5$  из-за избытка уже ионов  $Ag^+$ . Косвенным подтверждением такого механизма может служить самопроизвольное заметное уменьшение  $A$  и рост  $C$  полос на Рис.2 с течением времени, происшедшие по всей видимости, разложением метастабильного при комнатных условиях  $Ag_4KI_5$  на  $KI$  и  $AgI$ .

Край поглощения монослойной  $\beta$  области показан на Рис.3 и экситонные полосы 1 и 2 на нем идентичны соответственно полосам  $Z_{1,2}$  и  $Z_3$  в [7,8]. Форма полосы 1 близка гауссовской и тем самым подтверждает хорошую структурную однородность монослоя  $AgI$ . Оценка толщины слоя  $AgI$  по коротковолновому крылу полосы 1 [1] дает  $80 \pm 10$  нм и тогда отношение весов испаряемых навесок дает для начальной

Рис.4

Часть края поглощения  $KI+AgI$  пленки с толщиной  $KI$  слоя значительно меньше (3-4 раза) покрывающего  $AgI$  слоя.  
1-слабая экситонная полоса  $AgI$ , 2-краевой экситонный пик поглощения  $Ag_4KI_5$ .



толщины слоя  $KI$  ~50 нм. Если толщина слоя  $KI$  значительно меньше (в несколько раз) толщины осаждаемого на него слоя  $AgI$ , то часть  $AgI$  может остаться не востребованной для вступления в реакцию образования подслоев  $AgK_2I_3$  и  $Ag_4KI_5$  и тогда  $\alpha$  область пленки становится четырехслойной: подложка -  $KI$  -  $AgK_2I_3$  -  $Ag_4KI_5$  -  $AgI$ . В подтверждение сказанного, приведем часть спектра поглощения пленки (Рис.4) у которой начальная толщина  $KI$  слоя 3÷4 раза меньше толщины покрывающего слоя  $AgI$ . На Рис.4 слабая полоса 1 около 2.9 эВ маскирована длинноволновым крылом экситонного пика 2 ( $Ag_4KI_5$ ) и является несомненно краевой экситонной полосой  $AgI$ .

## Резюме

Получен спектр экситонного края поглощения KI+AgI пленки. Показано образование подслоев комплексных иодидов  $\text{Ag}_4\text{KI}_5$  и  $\text{AgK}_2\text{I}_3$  между слоями KI и AgI. Предложен механизм образования этих подслоев.

## Литература

1. Р.Галбадрах Дисс. на соискание уч.степени канд. физ-мат наук, Харьков, 1994 г
2. Галбадрах Р., Милославский В.К. Укр.физ.журн. -1994. -Т.39, №2 -С. 167-170.
3. Bradley J.N. , Green P.O. Trans. of Faraday Soc. -1966.-v.62, №524. -р.2069-2075.
4. Филипс Дж . Оптические спектры твердых тел М.Мир, 1968. -176 с.
5. Hariharan K. J.Phys.D: Appl. Phys. -1979. -v.12. -р. 1909-1916.
6. Edamatsu.K., Ikezawa M., Sato K., Kono S., Sagawa T. J.Phys..Soc.Jap. -1983. -v.52, №5. -р.1521-1524
7. Галбадрах Р., Милославский В.К., Юнакова О.Н., Кармазин В.В. Укр.физ.журн. -1992. -т.37, №49. -с.611-615.
8. Manuel Cardona Phys.Rev. -1963. -v.129, №1 -р.69-79

Работа выполнена на Кафедре  
экспериментальной физики  
МонГУ в 1996 году.